

## PC定着部の割裂補強に関する一考察

神戸大学工学部 正員 藤井 学  
" " " ○尾村 雄佑

## I 序言

PC部材等支圧应力を受ける部材端の設計においては、許容应力を用いる方法とて、弹性理論等により、固定に定められてる許容支圧应力による割裂应力分布を求め、コンクリートの許容引張应力以上の部分の割裂应力に耐えるべき鉄筋量を求め、配置する。この方法においては、設計荷重時の部材端の状態、または破壊荷重等は明らかにされない。さらに荷重状態が3次元的に作用すれば、その割裂应力分布の厳密理論解は得られておらず、また部材断面形状が複雑によれば、近似的にこの2次元理論解を適用せねばならない。本研究では上記の問題点を検討し、定着部を図-1、2に示すようならば、連結された状態として、材料力学よりそのため曲線を求め、このをもとに補強筋量を求めるようとするものである。

## II 理論的考察

今定着部を図-1に示すように、載荷板中央位置の断面で「ばね定数  $k$ 」にて結合された状態を考えれば、両方の部材には荷重の偏心により、曲げモーメントが作用する。

この状態を図-2に示すように理想化すれば、材料力学より、弹性支承上の(1)のための曲線の微分方程式は、

$$EI \cdot \frac{d^4y}{dx^4} = -k \cdot y \quad \dots \dots (1)$$

$$z = x$$

$$\beta = \sqrt{\frac{k}{4EI}} \quad \dots \dots (2)$$

とすれば、(1)式の解は、

$$y = e^{-\beta x} (A \sin \beta x + B \cos \beta x) + e^{\beta x} (C \sin \beta x + D \cos \beta x) \quad \dots \dots (3)$$

境界条件より定数  $A, B, C, D$  を求めると、

$$y = \frac{M}{2\beta^2 EI} e^{-\beta x} \sin \beta x \quad \dots \dots (4)$$

$y$  の最大値は

$$y_{max} = \frac{\sqrt{2}}{4\beta^2 EI} \cdot M \quad \dots \dots (5)$$

$$x = \frac{\pi}{4\beta} \quad \dots \dots (6)$$

今、図-1に示す部材を鉄筋で補強した場合を考案し、設計荷重に対して  $y_{max}$ 、すなわち、ひびわれ幅  $2a$  とすれば、ばね定数  $k$  は(5), (2)式より、

$$k \geq \frac{e^{\frac{\pi}{4\beta}} M^2}{2a^2 EI} \quad \dots \dots (7)$$

さらに補強筋が長さ  $l$  の間で付着なしに伸長すれば、部材単位長あたりの鉄筋量  $A_s$  は

$$A_s = k l / E_s \quad \dots \dots (8)$$

となる。

$$E_s \leq 0.5a$$

$$z = 1$$

$E_s$  : 鉄筋の弾性係数。

$0.5a$  : 鉄筋の許容引張应力

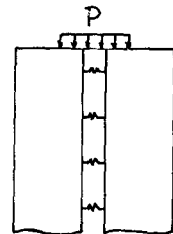


図-1. 定着部端

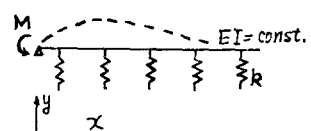


図-2. 弹性支承上の(1).

表-2. Iyengarの解に53 A<sub>s</sub>

載荷面積比 $A/l$	0.2	0.3	0.4
設計荷重 $P$ (t/m)	18.0	22.5	27.0
ばね定数 $k$ (t/m)	$200 \times 10^3$	$239 \times 10^3$	$253 \times 10^3$
鉄筋量 $A_s$ (mm <sup>2</sup> )	$2.38 \times 10^3$	$2.85 \times 10^3$	$3.01 \times 10^3$
$I_{y=0.4m}$ (cm <sup>4</sup> )	31.3	29.9	29.5
$2 \times A_s$ (mm <sup>2</sup> )	1.43	1.71	1.81

載荷面積比 $A/l$	0.2	0.3	0.4
設計荷重 $P$ (t/m)	18.0	22.5	27.0
ばね定数 $k$ (t/m)	$200 \times 10^3$	$239 \times 10^3$	$253 \times 10^3$
鉄筋量 $A_s$ (mm <sup>2</sup> )	$2.38 \times 10^3$	$2.85 \times 10^3$	$3.01 \times 10^3$
$I_{y=0.4m}$ (cm <sup>4</sup> )	31.3	29.9	29.5
$2 \times A_s$ (mm <sup>2</sup> )	1.43	1.71	1.81

(6), (7), (8) 式を土木学会規定による設計荷重に対して計算すれば、表-1に示すようになる。ここで  $\sigma_i = 410 \text{ kg/cm}^2$ ,  $E_c = 3.0 \times 10^5 \text{ kg/cm}^2$ ,  $I_{1/2} = 1.54 \text{ cm}^4$ ,  $2a = 0.2 \text{ mm}$  である。表-2に現行の弾性理論解 (Iyengar, S.R.) を用いた鉄筋量を示してある。この場合、コンクリート許容引張応力  $\sigma_{concrete} = 10 \text{ kg/cm}^2$  とし、

表-1において明らかのように、弾性支承上の1/2の解を用いて所要の鉄筋量を求めるには、鉄筋量  $A_s$  が部材単位長あたりにつき算出されるので、補強範囲をどれほどにするかが問題となる。

### Ⅲ 実験的考察

上述の補強法を検討するため、中  $30 \text{ cm}$  寛行  $\pm 15 \text{ cm}$ 、高さ  $60 \text{ cm}$  の供試体を用いて載荷実験を行なった。その結果を一部示す。

図-3は部材中央に合成樹脂製の仕切り板を設けた供試体K、設計荷重作用時  $K \cdot 2a = 0.2 \text{ mm}$  の53%に鉄筋を等間隔に配置し、各荷重に対してその変形状態を  $250 \text{ mm}$  のフーゲンベルガーヒズミ計を用いて測定したものである。この場合コンクリートの横ひずみは無視した。なお載荷面積比  $A_1/A_c = 0.3$ 、コンクリートと補強筋との付着は鉄筋にグリスをぬり、防止した。

図-4は各荷重時ににおける変位量を設計荷重時のそれに換算し、理論値とともに示したものである。

図-5は各荷重に対するひびわれ寸  $2a_0$  を顕微鏡で測定した値とフーゲンベルガーヒズミ計測定値の最大値とを比較したものである。

これらより明らかのように、供試体の底面の摩擦によって底面付近では、実測ひびわれ線は理論値とはば異なってくが、その最大値およびその位置はほぼ理論曲線と一致している。すなはち図-4に示されているように実測値はかなり一致した値を示しており、ある荷重段階までは供試体は弾性性状を示している。すなはち図-5に示すように、ひびわれ寸は荷重が約  $45 \text{ ton}$  を越すと急に増加していく。これは鉄筋の降伏によるものと考えられる。

### IV 参考文献

P. K. Som and K. Ghosh : Anchor Zone Stresses in Prestressed Concrete Beams. Proc. of A.S.C.E. 8, 1964, part 1, ST4.

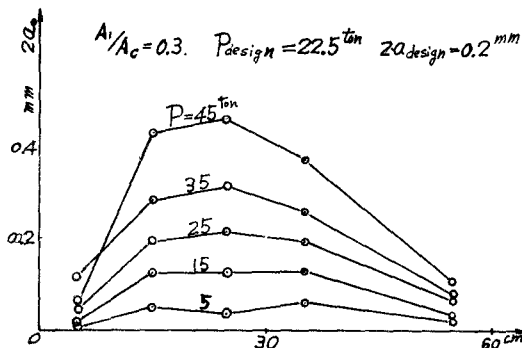


図-3. 変位分布曲線

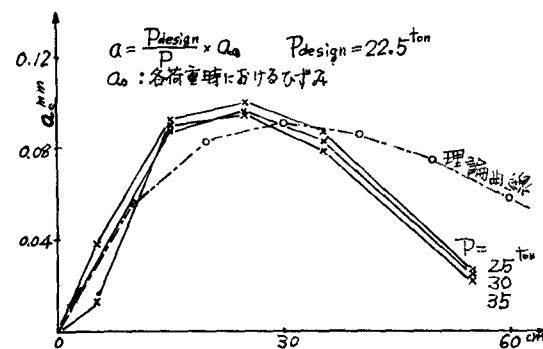


図-4. 各荷重時の設計荷重に対する変位分布

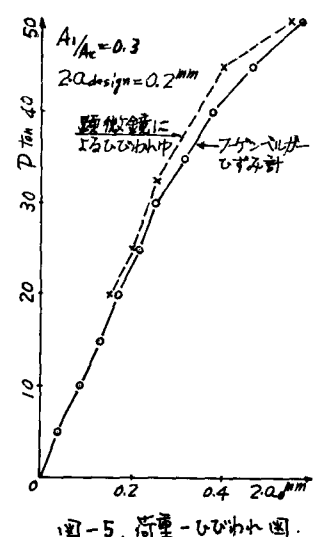


図-5. 荷重-ひびわれ図